

京都大学工学部 正員 島 昭治郎  
同 同 ○ 因村 優見  
住友建設株式会社 増田 年紀

### 1. まえがき

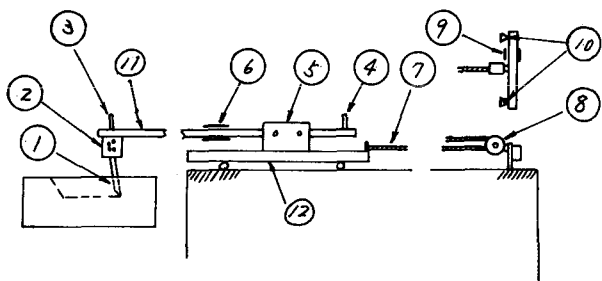
建設の機械化を合理的に推進するためには、建設機械の作業部分に働く力を正確に把握しなければならない。ここでは、粘性土の掘削に関して、切削抵抗を支配する切削強度指數との関係を行なうとともに、切削深さと切削距離に無関係に一定である「定常切削」と、ショベル、ドラグラインドによるように、切削中に切削深さが変化する「非常常切削」について、切削機構に関する実験的研究を行なった結果について報告する。

### 2. 実験装置、実験方法および試料

掘削試験に用いた実験装置は図一に示すようなもので、図中、切削刃①（刀幅 $B = 5 \text{ cm}$ ）は、切削刃取付部のヤンを適当に差し支えることによって、同一の刃をすくい角 $0^\circ$ ,  $20^\circ$ ,  $30^\circ$ ,  $40^\circ$ に容易に支えられることができ。そしてこれを取付けたアーム⑦を設置した台車⑫又は⑩-アーム⑦を介して巻取軸⑮へ巻き取られ、走行する。巻取軸ヒモタービンの間はウォーム減速機によつて減速し、また、ベルトドーリーの径を変えることによつて变速する。切削速度は、 $0.6 \text{ cm/sec}$ ,  $1.67 \text{ cm/sec}$ ,  $6.65 \text{ cm/sec}$ の3段階に支えられることができる。

図中⑤のセンサ本体を固定すれば定常切削ができる、一本ずればアームすばやく切削刃は上下可動で非常常切削を行なうことができる。非常常切削の場合、切削時に刃先にかかる抵抗力を調整するために④の部分にカウンターウエイトをおく。切削抵抗水平分力はゲージ⑨によって台車のけん引力として測定し、切削抵抗鉛直分力はゲージ⑥でアームの曲げモーメントとして測定した。土槽は幅 $23 \text{ cm}$ 、長さ $100 \text{ cm}$ 、高さ $30 \text{ cm}$ で、切削時にかかる土の盛りあがりや土の動きが土槽の側壁および底面に影響されないよう考慮した。

実験方法は粘性土を空気流入ないように注意して取り扱い、表面が平らになるよう成形した後、定常切削の場合には、切削刃が適當な切り込み深さを保つように土槽の下に一定厚さのゴム板をしき、ゴム板の枚数によつて切削深さを変化させた。非常常切削の場合には、アームを水平にして刃先が粘性土の表面に接するように土槽を固定し、切削刃を静かにがくして台車をけん引した。



① 切削刃 ② 刀の取付け脚 ③ 載荷板 ④ 固定ヒンジ  
⑤ 鉛直力計測ゲージ ⑥ タイヤ ⑦ 台車 ⑧ 水平力計測ゲージ  
⑨ 支承 ⑩ アーム ⑪ 台車

図-1

実験に使用した試料は粘性土で、あらかじめよくねり返し、実験中の含水比が一定(31.4~31.6%)になるよう細心の注意をはらって管理した。粘性土の粒度組成は、粘土分32%、シルト分48%、細砂分20%で、液性限界50.5%，塑性限界23.4%，塑性指数27.1%，比重2.67である。

### 3. 実験結果と考察

#### 3-1 切削強度指數 $C_s$

図-2に示したように、この実験に用いた粘性土では  $C_s$  が深さ  $Z$  に無関係に一定値 ( $C_s = 0.47 \text{ kg/cm}^2$ ) とばつている。従来の研究によれば、多くの粘性土では  $Z$  のあまり大きくなれば範囲で  $C_s$  の値は一定であるとされている。すべての粘性土について、これが成立つかどうかは疑問であるが、実際問題としては、切削時と同じ深さで  $C_s$  の値を測定することによって、定常切削、非常定切削時の切削抵抗値をよく表現することができる。

#### 3-2 定常切削

すくい角  $\alpha$  と切削速度  $V$  をパラメーターとして、切削深さ  $Z$  に対する切削抵抗水平分力  $H_x$  および切削抵抗鉛直分力  $T_x$  の関係を図-3、図-4に示す。ここで、 $H_x$ 、 $T_x$  の値は前面の盛土り土の影響を除いたものである。(図-5)。

水平分力は切削深さの増加とともに正比例して増大するが、一方、すくい角の増加とともにそれはわずかに減少している。鉛直分力の方向は上側を正とする。

鉛直分力  $T_x$  は、すくい角成せ口のときは切削深さが増加するに従つてわずかに増大するが、すくい角成せ口以上にはすれば切削深さが増加するにつれて鉛直分力は放物線的に減少し、ついには負の値をとるようになり、このため刃先を土中に引込む傾向がみられる。同様に切削速度をパラメーターとした場合も、すくい角をパラメーターとした場合と同じように、水平分力は切削深さの増加とともに正比例して増大し、

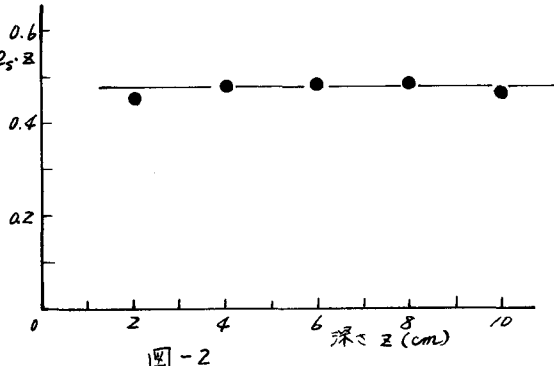


図-2

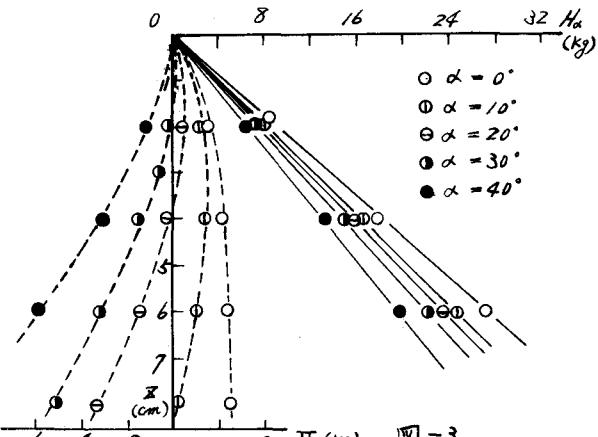
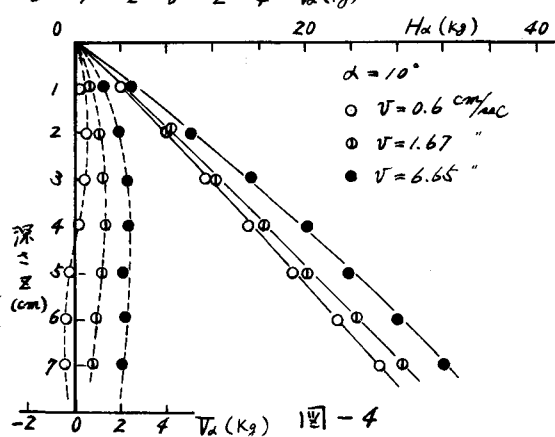


図-3



切削速度の増加とともに水平分力はわずかに増大していく。また、鉛直分力の場合も、水平分力の場合と同様に切削深さが増加するにつれて放物線的に減少していく。

図-6は、水平分力と鉛直分力の関係を示したもので、すくい角が大きければ、鉛直分力が負の方向へ増大し

2. 地盤へのくい込みが促進される傾向を示せている。

つぎに、これらの水平分力と深さとの関係から、すくい角がひきときの水平分力  $H_d$  とすくい角がゼロのときの水平分力  $H_0$  の比 ( $H_d/H_0$ ) とすくい角  $\alpha$  (ラジアン) の関係を示すと図-7のようになり

$$H_d = H_0 \times 10^{-m\alpha} \quad (m=0.21)$$

なる実験式が成立する。したがって、一般に水平分力に対する実験式としてつぎのような関係式

$$H_d = A_v \cdot B (\ell_s \cdot z) 10^{-m\alpha} \cdot z$$

成る。ここで、係数  $A_v$  は切削速度  $V$  の増加 (kg)

関数であるが、本実験では、速度  $V = 0.6 \text{ cm/sec}$  のとき

$A_v = 1.6$ 、 $V = 1.67 \text{ cm/sec}$  のとき  $A_v = 1.85$  であ

る。また鉛直分力に対する実験式として図-6よりつぎのような関係式

$$T_\alpha = C H_d + D$$

成る。ここで、 $C$  および  $D$  は実験条件によって異なる係数である。

### 3-3. 非定常切削

この場合切削刃の鉛直方向には図-8に示すように、鉛直荷重  $N$ 、切削鉛直分力  $T_d'$  およびくい込み抵抗  $R$  などが作用すると考えられる。

くい込み抵抗 (図-8) は、切削深さが切削中変化する非定常切削のときには必ずあらわれる抵抗で、慣性力を省略した近似的的合力を考えてみると

$$N = F + T_d'$$

たる関係がみられる。くい込み抵抗と切削深さとの関係を示すと図-9のようになる。

定常切削水平分力  $H_d$  と非定常切削水平分力  $H_d'$  について考察するとつぎのようないわゆる

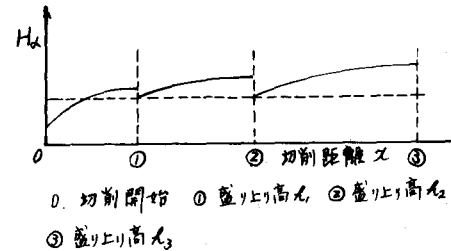


図-5

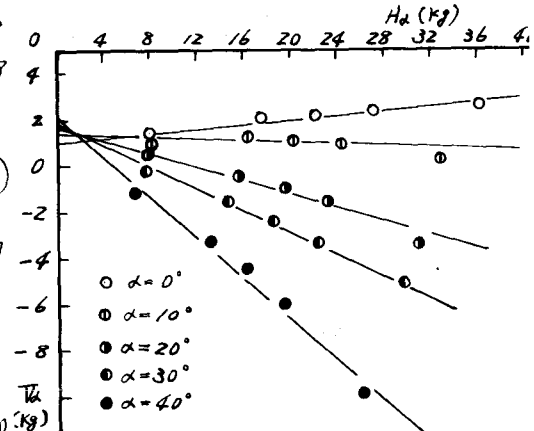


図-6

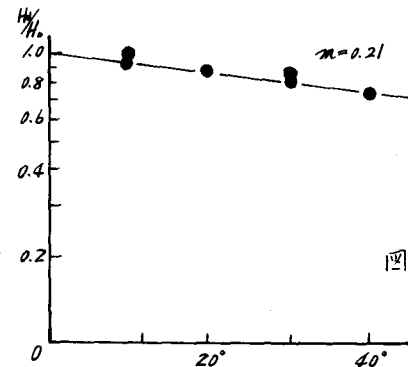


図-7

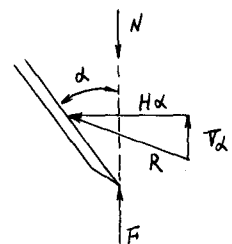


図-8

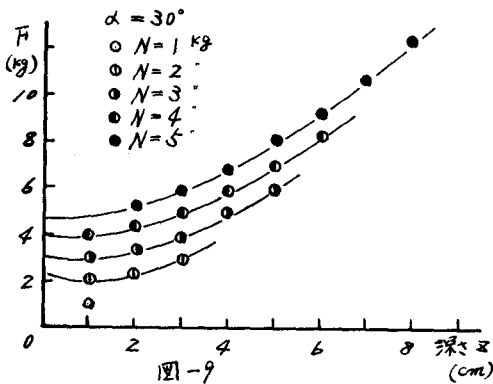


図-9

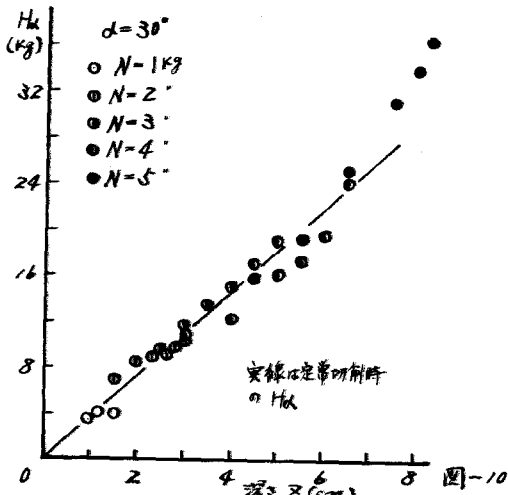


図-10

$$H_d' = H_d + \mu F$$

ここで、 $\mu$ は刃面と工の間の摩擦係数である。  
実験結果(図-10)でもわかるように定常切削時より非定常切削時の水平分力がいくぶん大きくなる傾向がみられる。

図-11はくい込み抵抗と切削深さの比( $F/z$ )と切削距離の微少部分と切削深さの微少部分の比( $dx/dz$ )との関係について示したもので、これより実験式としてつきのような関係式

$$\frac{F}{z} = B \left( \frac{dx}{dz} - \tan \alpha + K \right)$$

を導くことができる。非定常切削直分力  $T_d'$  についても定常切削で求めた実験式によりつきのようない下式

$$T_d' = A_r \cdot B \cdot C (e_s \cdot z)^{10^{-m\alpha}} + D$$

を得ることができる。

この両式で  $K$ ,  $C$ ,  $D$  は実験条件によって異なる係数、 $B$  は刃幅(5 cm)、 $e_s$  はくい込み係数で図-1より算出するとくい角30度の場合には  $0.044 \text{ kg/cm}^2$  となる。

#### 4. あとがき

まだ数多くの実験により検討しなくてはならない点があるが、以上の実験結果によつて得られた式により、種々の機械の刃先の運動や機械構造を解明する上の一助となれば幸である。